

## ОСОБЕННОСТИ ЕЛЕКТРИЧЕСКОЙ СТРУКТУРЫ НЕЙРОНОВ ВЫЯВЛЕНЫ МЕТОДОМ ЦИФРОВОЙ ОБРАБОТКИ ИЗОБРАЖЕНИЙ

**А.В. Каспиржный**

Дніпропетровський національний університет, пр. Гагаріна, 72, Дніпропетровськ, 49050  
e-mail: kaspizhny@gmail.com

Поступила в редакцію 5 жовтня 2007 р.

На комп'ютерних моделях пірамідних нейронів області CA1 гіпокампа крыс, построєнних на основі трьомерної реконструкції дендритних ветвлінь, исследували особливості їх електрическої структури. Електрическу структуру дендритних ветвлінь розраховували при допомозі программи NEURON як дерево профілів функції ефективності соматопетальній передачі тока от дендритних істочників. Розглядавали дендрити з пасивною мембрани і умовою відсутності утечки тока на кінці. Розроблено численний метод, що дозволяє виявляти кластерний або континуальний характер електрическої структури складних нейронів. При допомозі цього метода були виявлені особливості електрическої структури двох модельних нейронів, які відрізняються в наявності яскраво виражених груп профілів, обумовлених паттерном асиметрії дендритного ветвлення.

**КЛЮЧЕВІ СЛОВА:** електрическа структура, пірамідний нейрон гіпокампа, комп'ютерне моделювання, NEURON, обработка зображення, дендритне ветвлення

Характерною особливістю нейронів є різноманітність та складність форми їх дендритів. Для дендритів великих нейронів характерна складна асиметрична топологія ветвлення, різниця в довжинах і діаметрах окремих гілок, що відображає проявлення метрическої асиметрії. Дендрити являють системою, яка приймає, преобразує і передає в сому нейрона сигнали, поступаючи від інших нейронів. На них приходить 90-95% всіх прийманих поверхні нейрона сигналів [1]. Метрическі параметри дендритів впливають на їх електрическі передаточні характеристики [2], а метрическа асиметрія є причиною неоднорідності їх електрическої структури [3,4,5]. Розміри та особливості структури дендритів впливають на форму вихідного розряду, який генерує нейрон [6,7]. Поэтому виявлення характерних особливостей стохастичної структури дендритів є важливим етапом в дослідженні процесів обробки сигналів окремим нейроном.

Такою характерною особливістю дендритного ветвлення є наявність або відсутність груп гілок дендритів, для яких ефективність пасивної соматопетальній передачі тока от еквидистантних окремих істочників  $T(x)$  приймає близькі значення. Функція  $T(x)$  розраховувалася, як позиціонно-залежний коефіцієнт ефективності передачі тока [8] в сому нейрона от окремого істочника, який приймає значення від 0 до 1. Множество профілів функції  $T(x)$ , розраховані для кожної гілки дендрита, формують дерево профілів, яке топологічно гомеоморфно дендритному ветвленню. Древо профілів функції  $T(x)$  є відображенням пасивної електрическої структури нейрона. Цілью аналізу зображення електрическої структури нейрона є виявлення та підрахунок кількості груп близько розташованих профілів. Наличчя таких груп свідчить про складну функціональну організацію дендритного ветвлення, що може предполагати більш складний порівняно з іншими нейронами характер вихідного розряду та служити для класифікації нейронів.

Задача розділення стохастичного множества об'єктів на групи по значенню одного або кількох параметрів зазвичай розв'язується методом кластерного аналізу [9,3]. Однак цей метод потребує початкового задання кількості кластерів. Для уникнення суб'єктивизму в підрахунку кількості профілів в електрическій структурі складного нейрона, було розроблено метод оцінки кількості профілів при обробці зображення електрическої структури нейрона.

В роботі досліджувалися зображення електрическої структури пірамідних нейронів області CA1 гіпокампа крыс, які розраховувалися для різних значень удельного сопротивлення мембрани дендритів  $R_m$ . Поскольку  $R_m$  залежить від концентрації, розподілу та стану іонних каналів, то внаслідок зміни рівня синаптическої активності со сторони інших нейронів змінення значення  $R_m$  може становити до 70% [10]. Такі зміни одного з основних біофізических параметрів приводять до реконфігурації електрическої структури [11], які викликані змінами реакції нейрона на стимул та переходу його в «стан високої провідності» («high-conductance state») [12].

### МОДЕЛЬ

Для розрахунків використовувалися моделі пірамідних нейронів області CA1 гіпокампа крыс, построєні на базі трьомерної комп'ютерної реконструкції дендритних дерев'їв [13,14]. В роботі досліджувалася пасивна електрическа модель дендритів з умовою відсутністю концевої утечки осево-

## Особенности электрической структуры нейронов выявлены методом ...

то тока [2,15,16]. Удельное сопротивление дендритной мембранны  $R_m$  и цитоплазмы  $R_i$  были однородны для всего нейрона. Эффективность передачи тока в суму от одиночного источника, расположенного на дендрите на маршрутном расстоянии  $x$  от сомы, оценивалась позиционно-зависимым коэффициентом эффективности передачи тока  $T(x)$ . В работе [8] коэффициент  $T$  определен, как отношение интеграла изменения мембранныго потенциала сомы, вызванного инжекцией тока в точке  $x$  дендрита, к интегралу изменения мембранныго потенциала сомы, вызванного инжекцией такого же тока непосредственно в сому. Профили функции  $T(x) = T(x; R_m)$  для разных значений  $R_m$  рассчитывались численно с помощью программы NEURON [17]. Использовался метод расчета, описанный в работах [3,11]:

$$T(x; R_m) = [E(x) - E_p]/[E(0) - E_p] \quad (1)$$

$E(x)$  – мембранный потенциал дендрита на маршрутном расстоянии  $x$  от сомы, который возникает в ответ на инжекцию постоянного тока в сому (точка  $x = 0$ ),  $E(0)$  – мембранный потенциал на соме,  $E_p = -65$  мВ – потенциал покоя пассивной мембранны.

В работе [3] дендритное дерево отводящих мотонейронов крыс делилось на кластеры методом кластерного анализа по значению и градиенту пассивного (электротонического) затухания мембранныго потенциала, возникающего в ответ на инжекцию постоянного тока в сому. При использовании метода кластерного анализа для разбиения множества ветвей на кластеры требуется начальное задание количества кластеров [3,9]. Это является субъективным фактором, поскольку другие физиологические или модельные исследования не дают точной количественной оценки. Чтобы избежать произвола в выборе количества групп или субединиц, в данной работе была поставлена задача: разработать метод выделения и группировка групп электрических профилей, пользуясь изображением электрической структуры.

### Обработка изображений электрической структуры

Изображение рассчитанного для нейрона дерева профилей функции  $T(x)$  сохранялось в виде графика файла в формате JPEG в градациях серого цвета. Каждый профиль отображался черной линией толщиной в 1 пиксель на белом фоне. Размер изображений: 800x600 пикселов. При размере электрической структуры ( $S_T \times S_x$ ), где  $S_T$  – размах по оси  $T(x)$ ,  $S_x$  – размах по оси  $x$ , разрешение изображения (цена одного пикселя) составляет  $S_T/600$  по эффективности передачи тока и  $S_x/800$  по маршрутному расстоянию.

Изображения анализировались при помощи компьютерной программы, написанной на языке программирования С. Метод выявления и оценки количества хорошо различимых групп профилей базируется на алгоритме компьютерной сегментации растровых изображений по порогу серого [18,19]. Исследуемое изображение (Рис.1,а) разбивается сеткой с прямоугольными ячейками (Рис.1,б) на участки (Рис.1,в). Для каждого участка изображения рассчитывается среднее значение серого. Если полученное среднее для данного участка не превышает установленный порог, то весь участок закрашивается черным цветом и считается «черным». Если среднее значение превышает порог – участок считается «белым» (Рис.1,г). После обработки всех участков изображения проводится подсчет количества односвязных областей, которые состоят из «черных» участков (обведены на Рис.1,г). Два «черных» участка принадлежат одной области, если они касаются друг друга стороной или углом. Считается, что количество

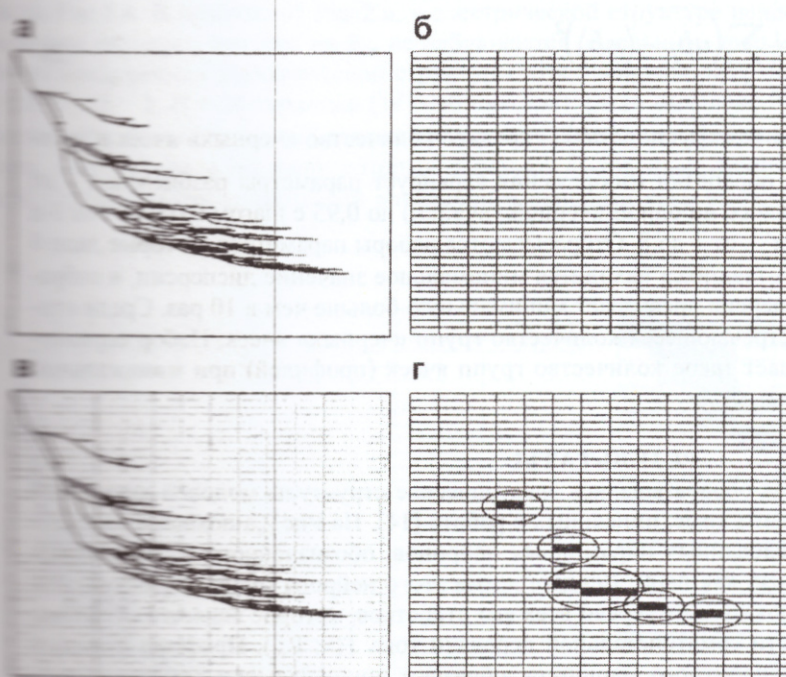


Рис. 1. а – изображение электрической структуры нейрона; б – сетка; в – наложение сетки на изображение электрической структуры; г – результат работы алгоритма выделения групп профи-

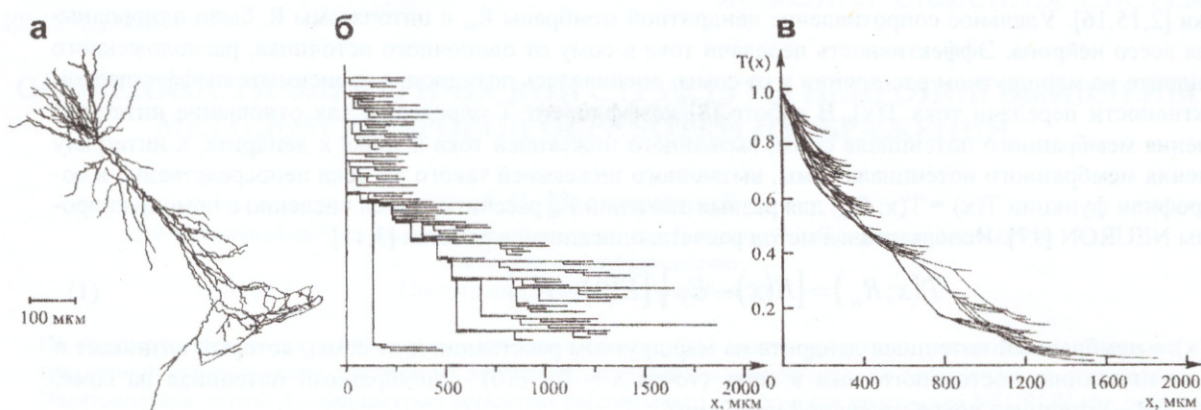


Рис. 2. а – реконструированный пирамидный нейрон области CA1 гиппокампа крысы n400; б – дендрограмма нейрона; в – изображение электрической структуры нейрона при  $R_m = 30 \text{ кОм} \cdot \text{см}^2$ ,  $R_i = 200 \text{ Ом} \cdot \text{см}$ .

групп профилей в электрической структуре равно количеству выделенных «черных» областей.

Результат работы алгоритма зависит от трех параметров. Первый параметр  $t$  – порог среднего значения серого для участка изображения – устанавливается как доля от максимального кода по шкале серого ( $t = 1,0$  отвечает белому цвету,  $t = 0,0$  – черному). Изображение разбивалось сеткой с прямоугольными ячейками, у которых горизонтальная сторона длиннее вертикальной. Такая форма ячеек связана с общей направленностью электрических профилей. Второй параметр  $H$  – высота ячеек в пикселях, третий параметр  $\alpha$  задает ширину ячеек, которая равна  $W = \alpha \cdot H$ .

Использование разных наборов параметров алгоритма дает разное количество «черных» областей (групп профилей) на одном и том же изображении. Наиболее приемлемый набор определялся статистической обработкой результатов работы алгоритма при вариации значений всех трех параметров (метод, подобный оценке количества пиксельных кластеров в сегментированном изображении, использованный в работе [18]). Критерием оптимальности результата обработки изображения является минимизация дисперсии количества «черных» ячеек в односвязных группах:

$$s^2 = \frac{1}{n} \sum_i (nb_i - \langle nb \rangle)^2, \quad (2)$$

где  $nb_i$  – количество «черных» ячеек в  $i$ -той группе,  $\langle nb \rangle$  – среднее количество «черных» ячеек в группах,  $n$  – количество групп. Программа обработки изображения варьирует параметры разбиения:  $t$  – от 0,40 (при меньших значениях не выделялось ни одной «черной» ячейки) до 0,95 с шагом 0,05,  $H$  – от 3-х до 20-ти пикселов с шагом в 1 пикセル,  $\alpha$  – от 1 до 8. Отбрасываются наборы параметров, которые дали 0 или одну группу черных ячеек. Среди оставшихся находится минимальное значение дисперсии, и отбрасываются те результаты, в которых дисперсия превышает минимальную больше чем в 10 раз. Среди отобранных, выделяется наиболее часто встречающееся количество групп «черных» ячеек. Набор параметров разбиения изображения, который дает такое количество групп ячеек (профилей) при минимальной дисперсии, считается наиболее приемлемым.

## РЕЗУЛЬТАТЫ

При помощи разработанного метода обрабатывались электрические структуры моделей двух пирамидных нейронов области CA1 гиппокампа крыс, описанных в работе [14]. На Рис.2,а показана компьютерная реконструкция первого из исследованных пирамидных нейронов, обозначенного в базе данных интернет-сайта <http://neuron.duke.edu/cells/>, как n400. Дендрограмма этого нейрона (одна из разновидностей диаграмм Шолла [20]) на Рис.2,б показывает дерево всех его отростков, которое является областью определения для функции эффективности соматопетальной передачи тока  $T(x; R_m)$ . Профили функции  $T(x; R_m)$ , рассчитанные для каждого дендритного маршрута, образуют топологически гомеоморфную дендрограмме древовидную электрическую структуру нейрона. На Рис.2,в показана электрическая структура нейрона n400, рассчитанная при удельном сопротивлении цитоплазмы  $R_i = 200 \text{ Ом} \cdot \text{см}$  и удельном сопротивлении мембранны  $R_{in} = 30 \text{ кОм} \cdot \text{см}^2$  (значения, указанные в работе [14]). На Рис.2,в видно, что в электрической структуре можно выделить отдельные группы профилей.

Особенности электрической структуры нейронов выявлены методом ...

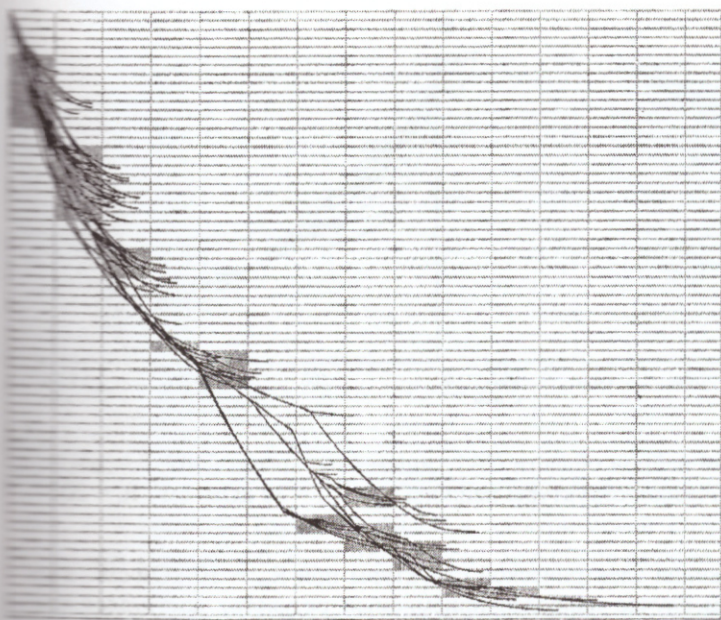


Рис. 3. Выделение семи групп профилей в электрической структуре нейрона n400, построенной при  $R_m = 30 \text{ кОм} \cdot \text{см}^2$ ,  $R_i = 200 \text{ Ом} \cdot \text{см}$ .

Обработка изображения (Рис.2,в) дала наиболее приемлемый результат при таких параметрах:  $t = 0,75$ ;  $\alpha = 6$ ;  $H = 9$  пикселов ( $W = 54$  пикселя). При этом было выделено 7 групп профилей (показаны серым цветом на Рис.3), 4 из которых принадлежат поддереву базальных дендритов, а 3 – поддереву апикальных. На Рис.3 видно, что профили эффективности передачи тока ветвями, принадлежащими разным группам, значительно отличаются по длине, в то время как их различия по длине внутри групп значительно меньше. Для дерева апикальных дендритов так же характерно формирование групп профилей из ветвей, отличающихся длинами (две нижние группы). Выделение третьей (верхней) группы профилей, по-видимому, обусловлено фактором топологической асимметрии. На Рис.4,а показан результат обработки изображения электрической структуры того же нейрона при  $R_m = 10 \text{ кОм} \cdot \text{см}^2$ , а на Рис.4,б –

при  $R_m = 100 \text{ кОм} \cdot \text{см}^2$ . В первом случае наиболее приемлемый результат достигнут при  $t = 0,7$ ;  $\alpha = 3$ ;  $H = 20$  пикселов ( $W = 60$  пикселя). При этом выявлено 4 группы профилей. Во втором – при  $t = 0,9$ ;  $\alpha = 3$ ;  $H = 18$  пикселов ( $W = 54$  пикселя) было выявлено 2 большие группы профилей, которые соответствуют сильно отличающимся по длине группам ветвей базального и апикального дендритных деревьев.

На Рис.5,а показан пирамидный нейрон области CA1 гиппокампа крыс n407. Его дендрограмма показана на Рис.5,б, а электрическая структура, построенная для  $R_i = 200 \text{ Ом} \cdot \text{см}$  и  $R_m = 30 \text{ кОм} \cdot \text{см}^2$ , показана на Рис.5,в. В отличие от Рис.2,в, в электрической структуре нейрона n407, который имеет несколько меньшие размеры, при том же  $R_m$  не наблюдается отдельных, ярко выраженных групп профилей. Обработка изображения электрической структуры этого нейрона дала наиболее приемлемый результат при:  $t = 0,65$ ;  $\alpha = 3$ ;  $H = 20$  пикселов ( $W = 60$  пикселя). Было выявлено 2 группы профилей (показаны серым цветом на Рис.6), которые принадлежат поддереву базальных дендритов. На Рис. 6 видно, что ветви дендрита, электрические профили которых образуют выявленные группы, различаются, прежде всего, длиной. Среди поддерева профилей апикального дендрита ярко выраженных групп выделено не было. На

б

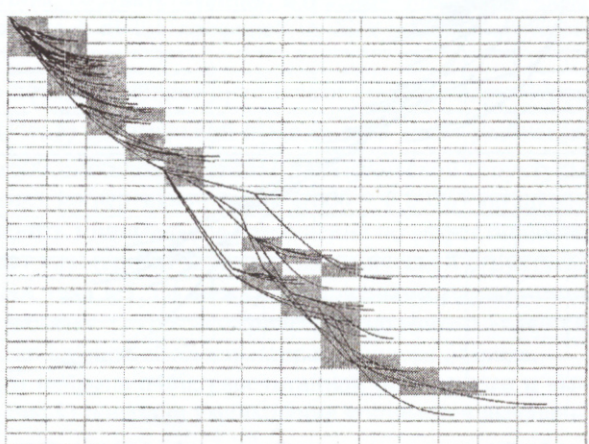
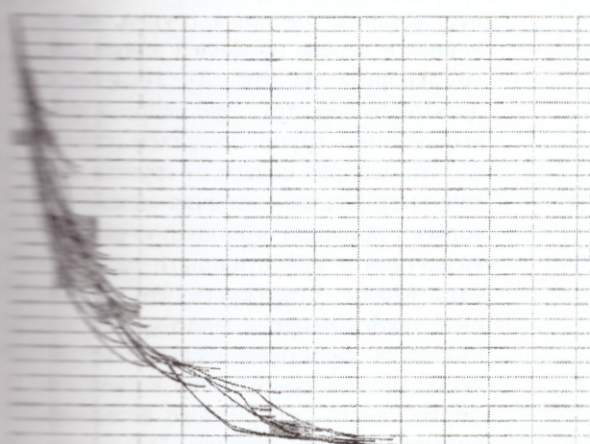


Рис. 4. Выделение групп профилей в электрической структуре нейрона n400, построенной при а:  $R_m = 10 \text{ кОм} \cdot \text{см}^2$  и б:  $R_m = 100 \text{ кОм} \cdot \text{см}^2$ . Для обоих случаев  $R_i = 200 \text{ Ом} \cdot \text{см}$ .

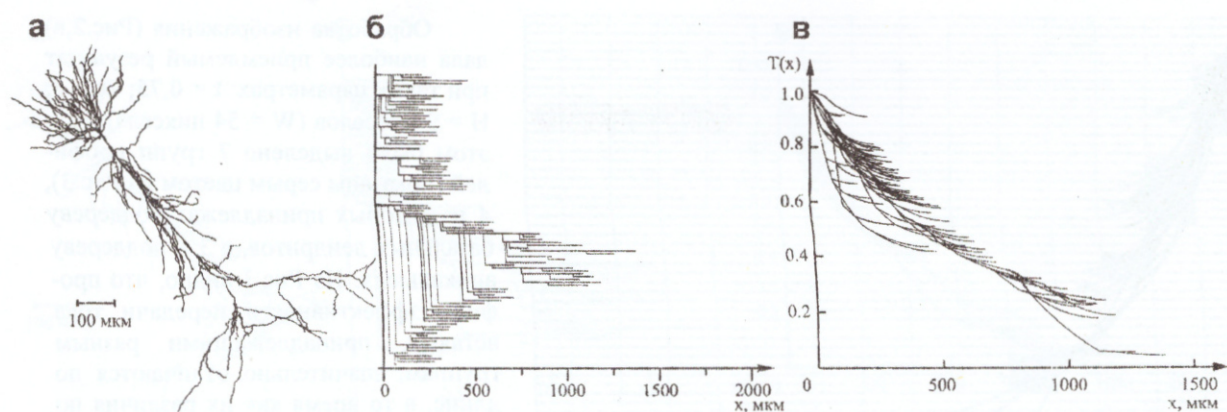


Рис. 5. а – реконструированный пирамидный нейрон области СА1 гиппокампа крысы n407; б – дендрограмма нейрона; в – изображение электрической структуры нейрона при  $R_m = 30 \text{ кОм} \cdot \text{см}^2$ ,  $R_i = 200 \text{ Ом} \cdot \text{см}$ .

Рис. 7,а показан результат обработки изображения электрической структуры при  $R_m = 10 \text{ кОм} \cdot \text{см}^2$ , а на Рис. 7,б – при  $R_m = 100 \text{ кОм} \cdot \text{см}^2$ . В первом случае наиболее приемлемый результат достигался при  $t = 0,55$ ;  $\alpha = 7$ ;  $H = 8$  пикселов ( $W = 56$  пикселя) и при этом выделено 3 группы профилей. Во втором – при  $t = 0,45$ ;  $\alpha = 6$ ;  $H = 9$  пикселов ( $W = 54$  пикселя); выделено 2 группы профилей.

### ОБСУЖДЕНИЕ

Дендритные отростки нейронов собирают и передают в суму большинство электрических сигналов, приходящих от других нейронов в виде импульсов тока, инжектируемых в проводящие дендриты в местах синаптических контактов. Множество инжектированных токов образуют осевой ток, который, достигая сомы, в случае превышения порогового значения инициирует выходной разряд нейрона. Сложная стохастическая форма дендритных отростков крупных нейронов, для мембранных которых характерны не только пассивная проводимость утечки, но и наличие активных проводимостей ионных каналов, является важным элементом обработки информации. Обнаружение и выделение особенностей морфологии дендрита является важным этапом в изучении процессов обработки сигналов одиночным нейроном.

Расхождение профилей функции  $T(x; R_m)$ , рассчитанных для разных ветвей дендрита при одинаковых значениях параметров  $R_m$  и  $R_i$ , обусловлено различиями в их размерах и метрической асимметрией [5] или разным значением концевой проводимости утечки. Второй фактор может описывать случаи с различной асимметричной топологией ветвления, характерные для промежуточных ветвей дендрита (верхняя группа, выявленная в дереве профилей апикального дендрита на Рис. 3). Наличие в электрической структуре нейрона ярко выраженных групп профилей означает, что дендрит содержит группы ветвей, метрические различия между которыми приводят к примерно равным различиям в эффективности передачи тока. Можно утверждать, что в дендрите такого нейрона многократно повторяется характерный случай метрически асимметричных пар ветвей – в форме такого дендритного ветвления просматривается паттерн. Электрическую структуру нейронов, для которых характерно наличие ярко выраженных групп профилей, можно классифицировать как асимметричные.

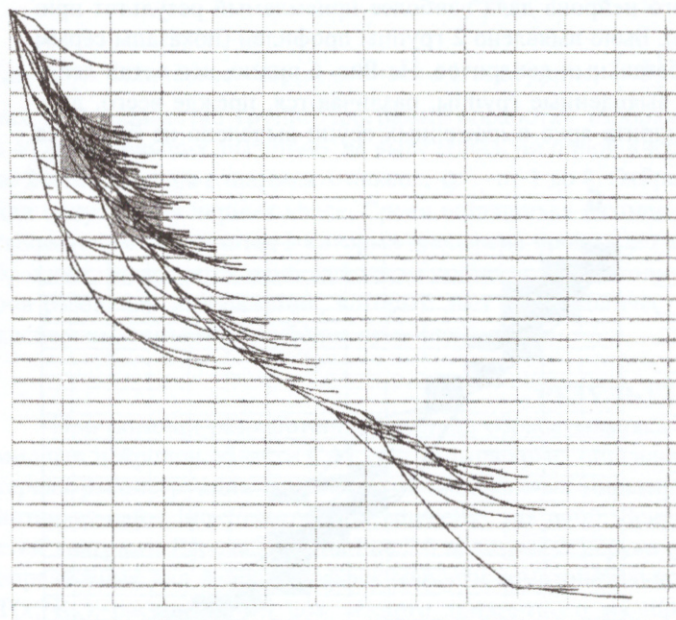


Рис. 6. Выделение двух групп профилей в электрической структуру нейрона n407, построенной при  $R_m = 30 \text{ кОм} \cdot \text{см}^2$ ,  $R_i = 200 \text{ Ом} \cdot \text{см}$ .

Электрическую структуру нейронов, для которых характерно наличие ярко выраженных групп профилей, можно классифицировать как асимметричные. Важно отметить, что методика обработки изображений, описанная в статье, позволяет выделить такие особенности морфологии дендрита, которые могут быть использованы для идентификации нейронов и изучения их функциональных свойств. Дальнейшие исследования могут направлены на разработку алгоритмов автоматической классификации нейронов на основе их электрических структур.

Особенности электрической структуры нейронов выявлены методом ...

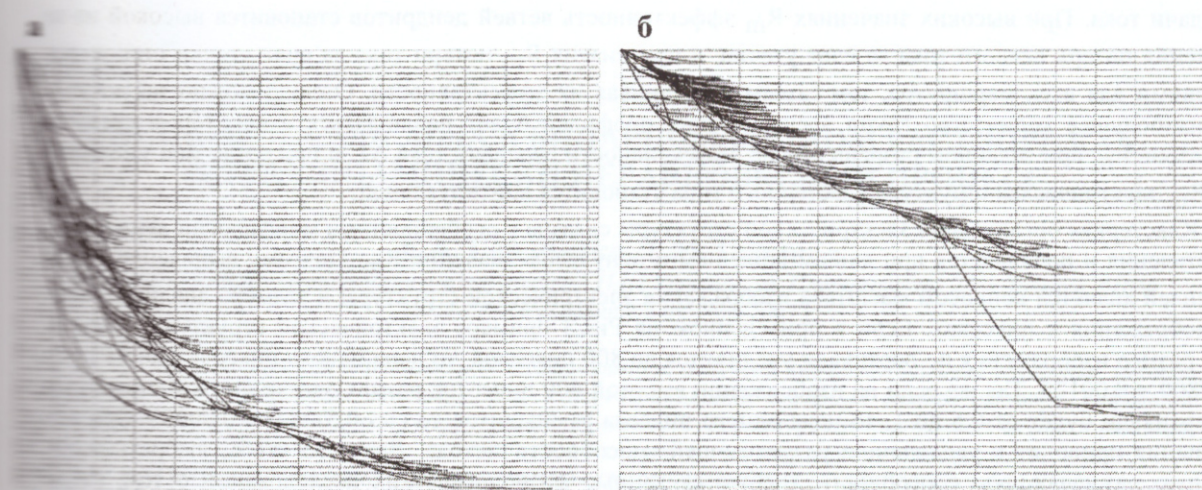


Рис. 7. Выделение групп профилей в электрической структуре нейрона n407, построенной при а:  $R_m = 10 \text{ кОм}\cdot\text{см}^2$  и б:  $R_m = 100 \text{ кОм}\cdot\text{см}^2$ . Для обоих случаев  $R_i = 200 \text{ Ом}\cdot\text{см}$ .

классифицировать как структуру кластерного типа (например, нейрон n400 на Рис. 2). Если в электрической структуре нейронов сложно или невозможно выделить ярко выраженные группы профилей, то их можно классифицировать как структуры континуального типа (например, так можно классифицировать нейрон n407 на Рис. 5). Такие нейроны также содержат различные пары метрически асимметричных ветвей, но количество повторяемых вариантов асимметрии (паттерна) нет – различные пары асимметричных ветвей формируют непрерывную электрическую структуру.

Для понимания процессов обработки сигналов отдельным сложным нейроном предлагаются разные способы разбиения всего дендрита на субъединицы по функциональным признакам. Например, в работе [21] авторы определяют дендритные субъединицы, как области дендритов, в пределах которых проводимость передачи тока между отдельными участками мала, но сильно отличается от проводимости передачи тока к участкам из других субъединиц. В работе [22] дендритные субъединицы определены, как области дендрита, в пределах которых отклонение мембранных потенциала вследствие инжекции постоянного тока в сому, невелико (для обзора по данной теме так же можно рекомендовать работу [23]).

В перечисленных выше работах ([22,23]) разбиение дендритного ветвления на субъединицы носило субъективный характер, поскольку параметр (порог) разбиения выбирался произвольно, так как физиологические исследования не дают информации о количестве функционально различных субъединиц дендритного ветвления. При разработке метода обработки изображений электрической структуры нейронов, примененного в данной работе, была сделана попытка смоделировать процесс визуального выделения групп плотно расположенных профилей (плотнее, чем соседние с группой профили). Применение данного метода для нейронов с электрической структурой кластерного (нейрон n400 на Рис.2-4) и континуального (нейрон n407 на Рис.5-7) типов дало достаточно удовлетворительный результат. На примере нейрона n407 (Рис.6) видно, что данный метод выделил группы, соответствующие наиболее мощным пучкам профилей, тогда как удаленный от сомы, более разреженный пучок профилей не был выделен группой «сиреневых» ячеек.

Еще один важный результат связан с процедурой поиска наиболее приемлемого набора параметров алгоритма. Для нейрона n400 при  $R_m = 30 \text{ кОм}\cdot\text{см}^2$  (Рис.3) оптимальной была высота ячеек разбиения  $H = 9$  пикселов. При размерах всего изображения 800x600 пикселов и размахе электрической структуры по вертикали от 0 до 1, цена одного пикселя изображения по вертикали равна  $1/600 = 0,00167$  по шкале эффективности передачи тока. Это число позволяет оценить минимальное разрешение по эффективности передачи тока  $\Delta T = 9 \cdot 1 / 600 = 0,015$ , которое выявляет кластерный характер электрической структуры нейрона n400. Если различие в эффективности передачи тока в 1,5% между дендритными маршрутами существенно влияет на выходной разряд нейрона, то наличие групп электрических профилей является важной функциональной особенностью дендрита, заметно влияющей на характер выходного разряда.

Результаты исследования электрической структуры нейрона n400, рассчитанной для низкого и высокого значений удельного сопротивления мембранны (Рис.4) показали уменьшение количества выявленных групп с 7 до 4-х при  $R_m = 10 \text{ кОм}\cdot\text{см}^2$  и до 2-х при  $R_m = 100 \text{ кОм}\cdot\text{см}^2$ . Вместе с тем, в последнем случае среднее число ячеек в группе возросло до 19,0. Это объясняется тем, что при росте или снижении удельного сопротивления (снижении или росте удельной проводимости) дендритной мембранны морфологические различия между дендритными маршрутами меньше влияют на их различия по эффективности

передачи тока. При высоких значениях  $R_m$  эффективность ветвей дендритов становится высокой из-за снижения потерь осевого тока за счет утечки, а при низких  $R_m$  потери тока за счет утечки становятся большими для всех маршрутов, тем самым, выравнивая их эффективности. Отсюда можно заключить, что наибольшее количество групп электрических профилей будет наблюдаться в некотором среднем диапазоне  $R_m$  при заданном разрешении по эффективности передачи тока  $\Delta T$ , а при росте или уменьшении  $R_m$  электрическая структура кластерного типа становится континуальной.

Кластерная организация электрической структуры связана с особенностями морфологии дендритного ветвления и проявляется при любом конечном и ненулевом значении  $R_m$ . Поэтому выделение групп профилей является вопросом масштаба изображения электрической структуры и размера анализируемого изображения в пикселях. Если в приведенном на Рис.3 примере электрической структуры нейрона n400 размер изображения по вертикали увеличится до 800 пикселов, то цена одного пикселя уменьшится до  $1/800 = 0,00125$ . Так же если на изображении высотой 600 пикселов размах электрической структуры по вертикали будет от 0,5 до 1, то цена одного пикселя уменьшится до  $(1 - 0,5)/600 = 0,00083$ . Оба эти изменения приводят к увеличению разрешающей способности метода. Для того чтобы выбрать оптимальную разрешающую способность, требуются данные физиологических исследований о том, какая разница в эффективности передачи тока может вызвать заметные изменения выходного разряда нейрона.

## ВЫВОДЫ

В электрической структуре двух модельных пирамидных нейронах области CA1 гиппокампа крыс были выявлены особенности, которые заключаются в наличии групп электрических профилей. Для первого модельного нейрона характерно наличие хорошо выраженных групп, а в электрической структуре второго нейрона группы значительно менее выражены при разных значениях  $R_m$ . Данная особенность позволяет классифицировать первый модельный нейрон, как имеющий электрическую структуру кластерного, а второй – континуального типа. Выявление групп профилей в электрической структуре нейронов проводилось специально разработанным методом цифровой обработки изображений. За счет матричного характера цифрового изображения, предложенный метод сегментации электрической структуры нейрона позволяет определять разрешающую способность по эффективности передачи тока, при которой проявляется её кластерный характер. Было показано, что наиболее четко кластерный характер электрической структуры проявляется при средних значениях удельного сопротивления мембранны, а рост или снижение  $R_m$  приводят к переходу электрической структуры от кластерного к континуальному типу.

*Автор выражает благодарность ассистенту кафедры экспериментальной физики факультета ФЭКС Днепропетровского национального университета Тихомирову А.Е.за помощь в разработке программного обеспечения для обработки изображений электрической структуры модельных нейронов.*

## СПИСОК ЛИТЕРАТУРЫ

1. Dendrites. Ed. Stuart G., Spruston N., Häusser M. –New York: Oxford. 1999.
2. Rall W. // In book: Kandel E. (ed) "Handbook of Physiology". V.1. American Physiological Society, Bethesda, MD. 1977. P.39–98.
3. Korogod S.M., Bras H., and oth. // Eur. J. Neurosci. 1994. V.6. P.1517–1527.
4. Korogod S.M. // Biol. Cyb. 1996. V.74. P.85–93.
5. Korogod S.M., Kulagina I.B. // Biol. Cyb. 1998. V.79. P.231–240.
6. Mainen Z.F., Sejnowski T.J. // Nature. 1996. V.382. P.363–366.
7. Duijnhouwer J., Remme M.W.H., van Ooyen A., van Pelt J. // Neurocomputing. 2001. V.38–40. P.183–189.
8. Barrett J., Crill W. // J. Physiol. 1974. V.239. P.325–345.
9. Дюран Б., Оделл П. // Кластерный Анализ. М.: Статистика, 1977. –128c.
10. Paré D., Shink E., and oth. // J. Neurophysiol. 1998. V.79. P.1450–1460.
11. Korogod S.M., Kulagina I.B., and oth. // J. Comp. Neurol. 2000. V.422. P.18–34.
12. Destexhe A., Rudolph M., Paré D. // Nat. Rev. Neurosci. 2003. V.4. P.739–751.
13. Cannon R.C., Wheal H.V., Turner D.A. // J. Comp. Neurol. 1999. V.413. P.619–633.
14. Pyapali G.K., Sik A., and oth. // J. Comp. Neurol. 1998. V.391. P.335–352.
15. Jack J.J.B., Noble D., Tsien R.W. // Electric Current Flow in Excitable Cells. "Clarendon", OXFORD. 1975
16. Koch C. // Biophysics of computation: information processing in single neurons. Computational Neuroscience, Oxford university press, New York, Oxford. 1999
17. Hines M.L., Carnevale N.T. // Neural Comput. 1997. V.9. P.1179–1209.
18. Coleman G.B., Andrews H.C. // Proceedings of the IEEE. 1979. V.67(5), P.773–785.
19. Павлидис Т. // Алгоритмы машинной графики и обработки изображений. М.: Радио и Связь, 1986, –399c.
20. Sholl D.A. // J. Anat. 1953. V.87. P.387–406.
21. Koch C., Poggio T., Torre V. // Phil. Trans. R. Soc. Lond. B 1982. V.298. P.227–264.
22. Woolf T.B., Shepherd G.M., Greer C.A. // J. Neurosci. 1991. V.1(6). P.1837–1854.
23. Mel B.W. // Neural Computation. 1994. V.6. P.1031–1085.